

AF 67/88/SERCE
083032 80 BKU X3000

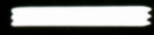
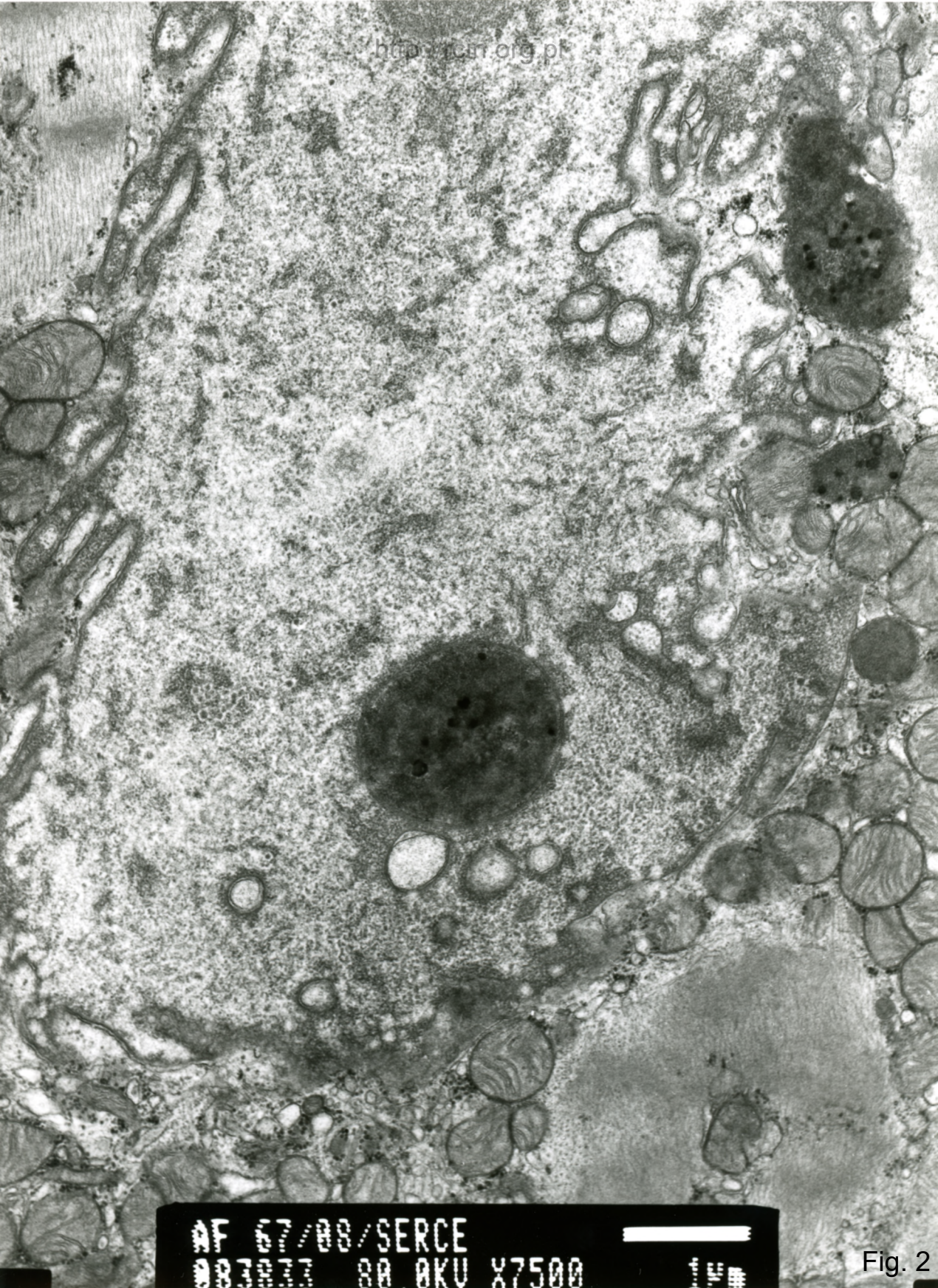
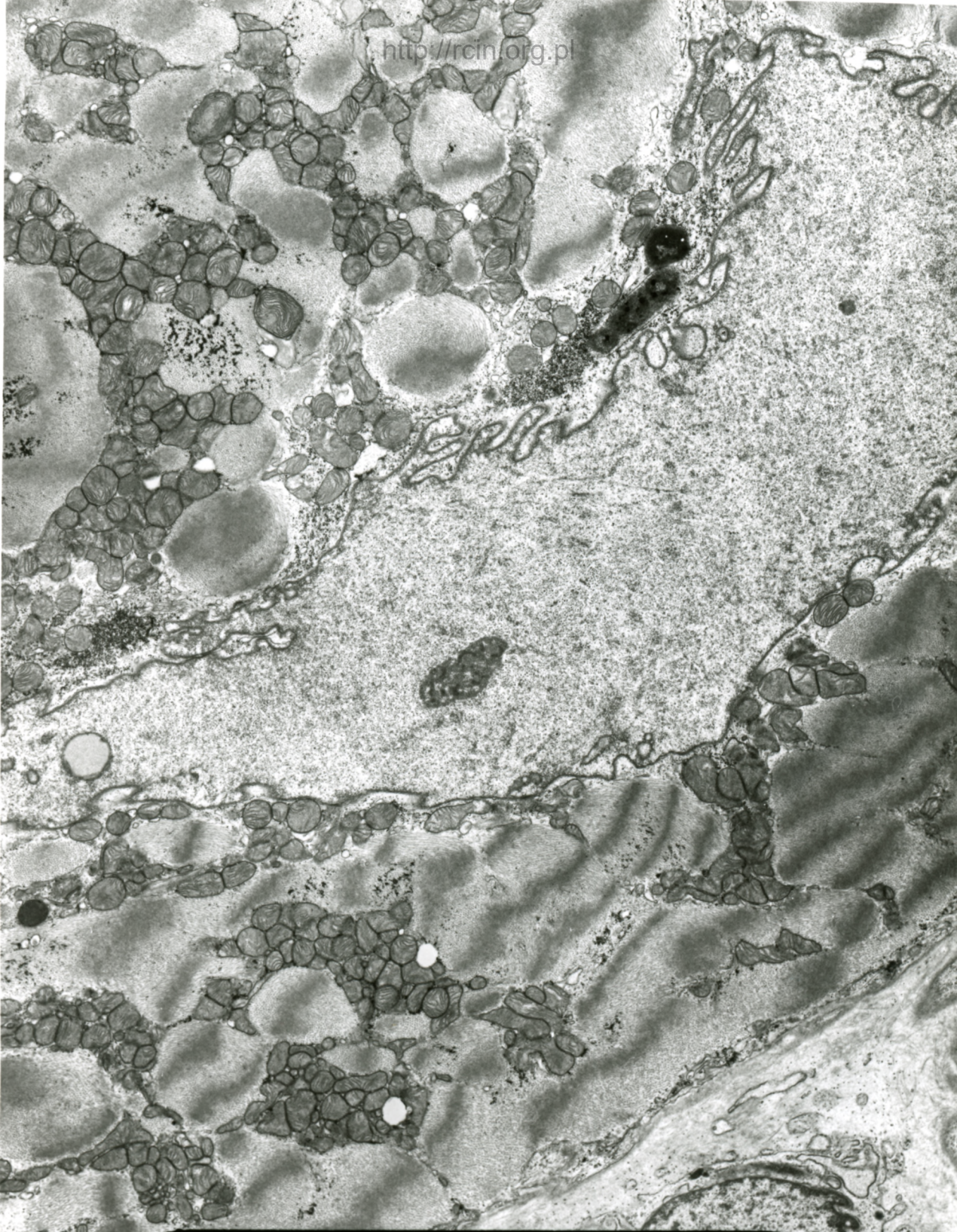


Fig. 1



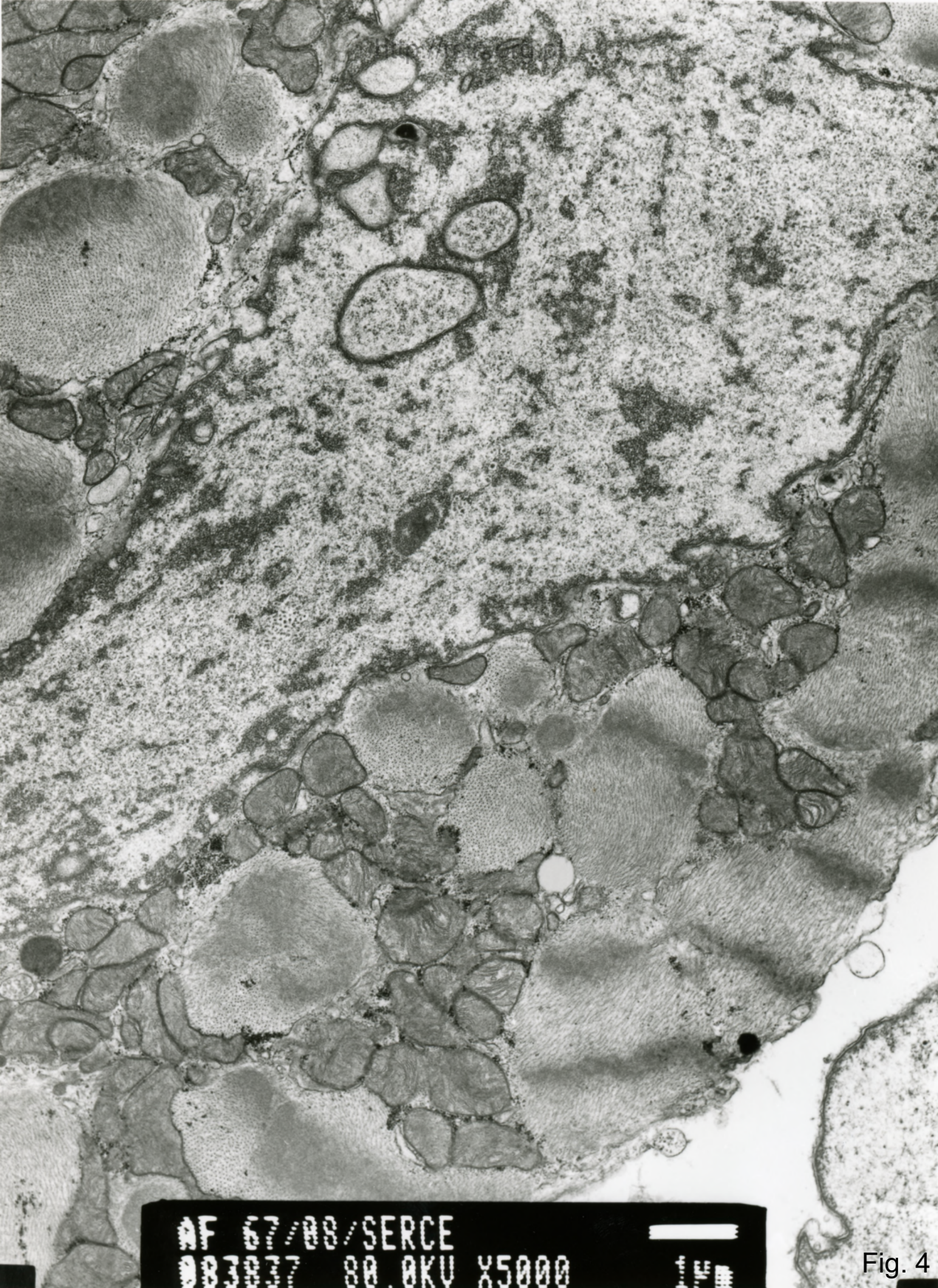
AF 67/08/SERCE
083833 80 AKU X7500

Fig. 2



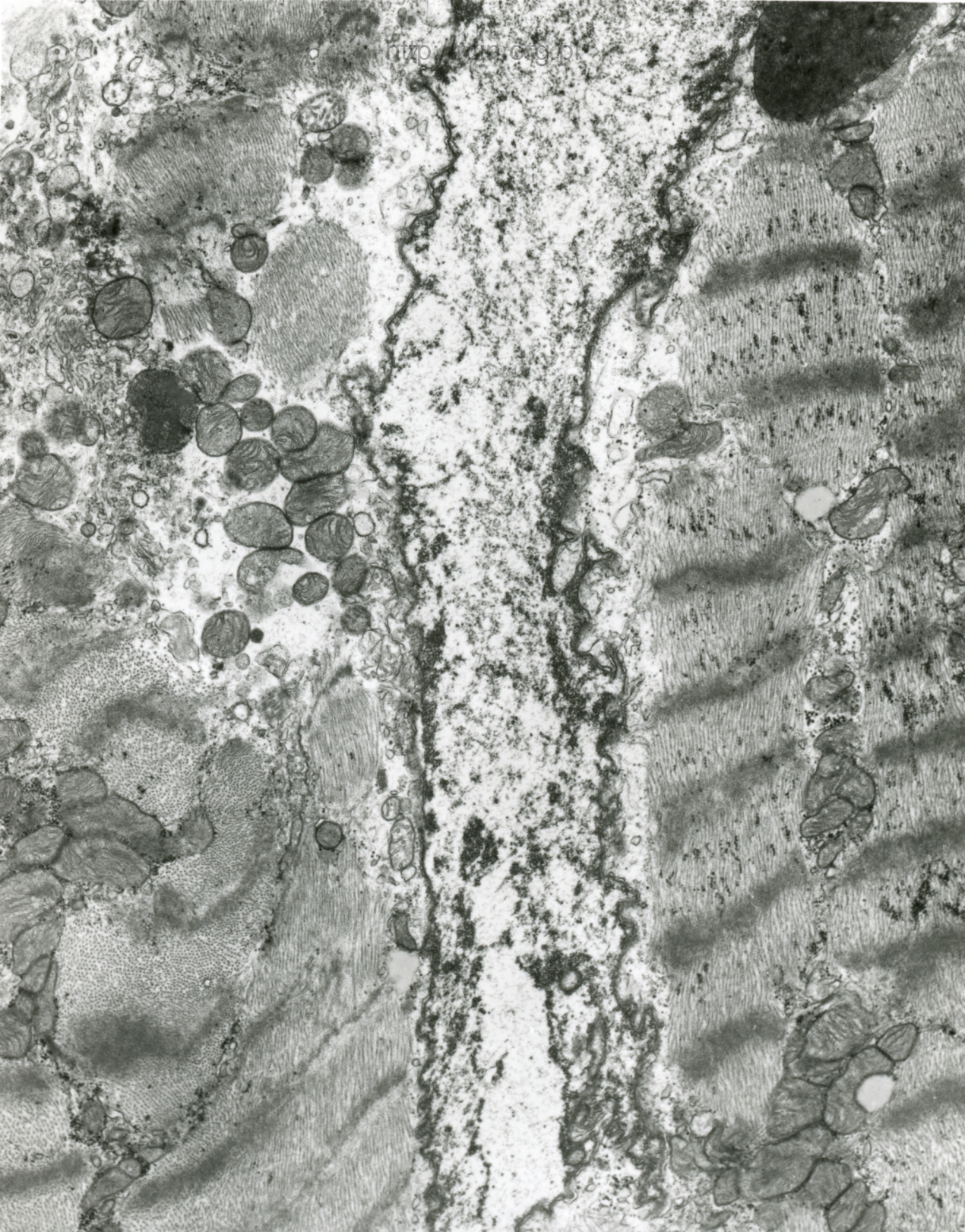
AF 67/88/SERCE
083036 88 AKU X2500 24

Fig. 3



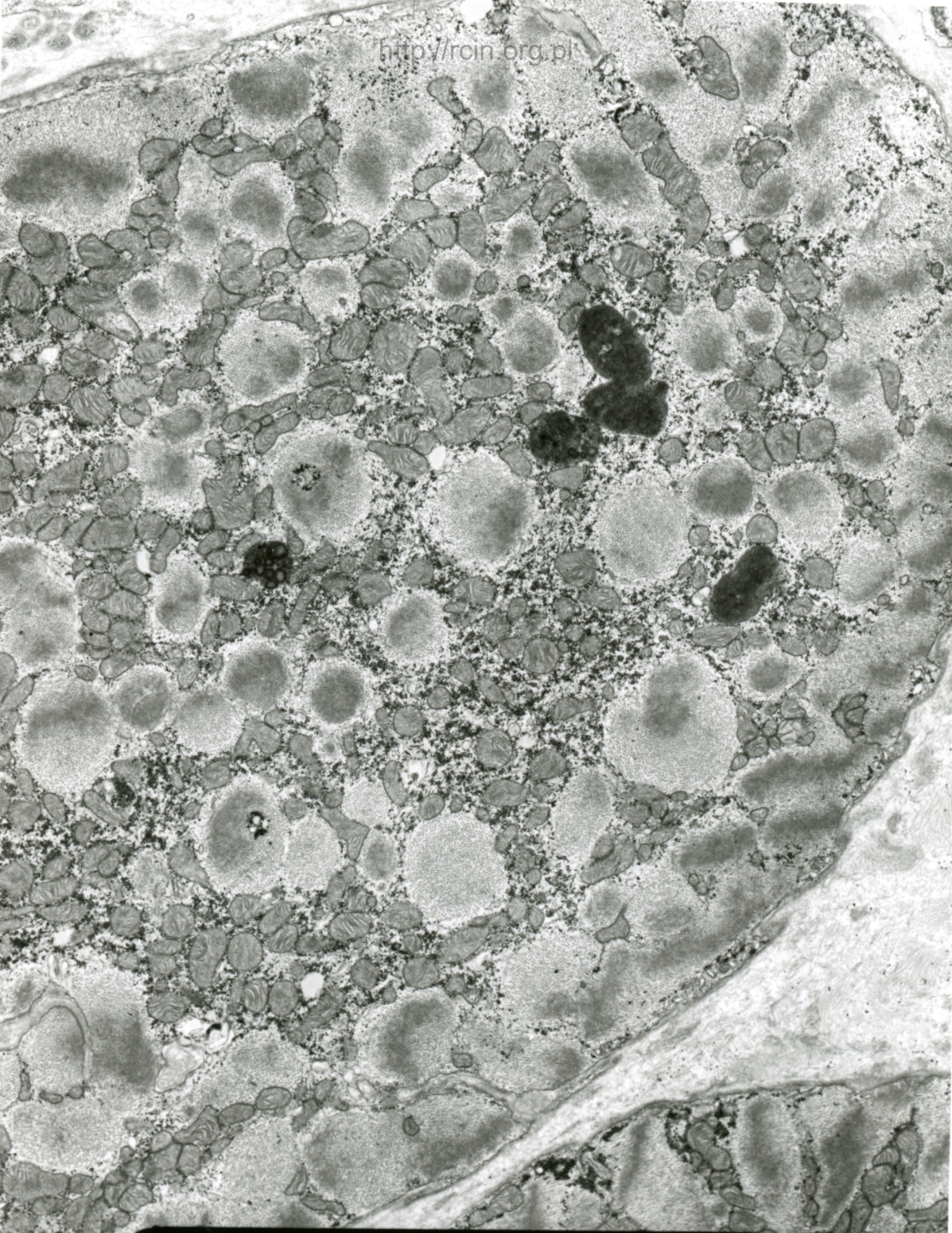
AF 67/08/SERCE
083837 80.0KV X5000

Fig. 4



AF 67/88/SERCE
083824 88 0KV X5000

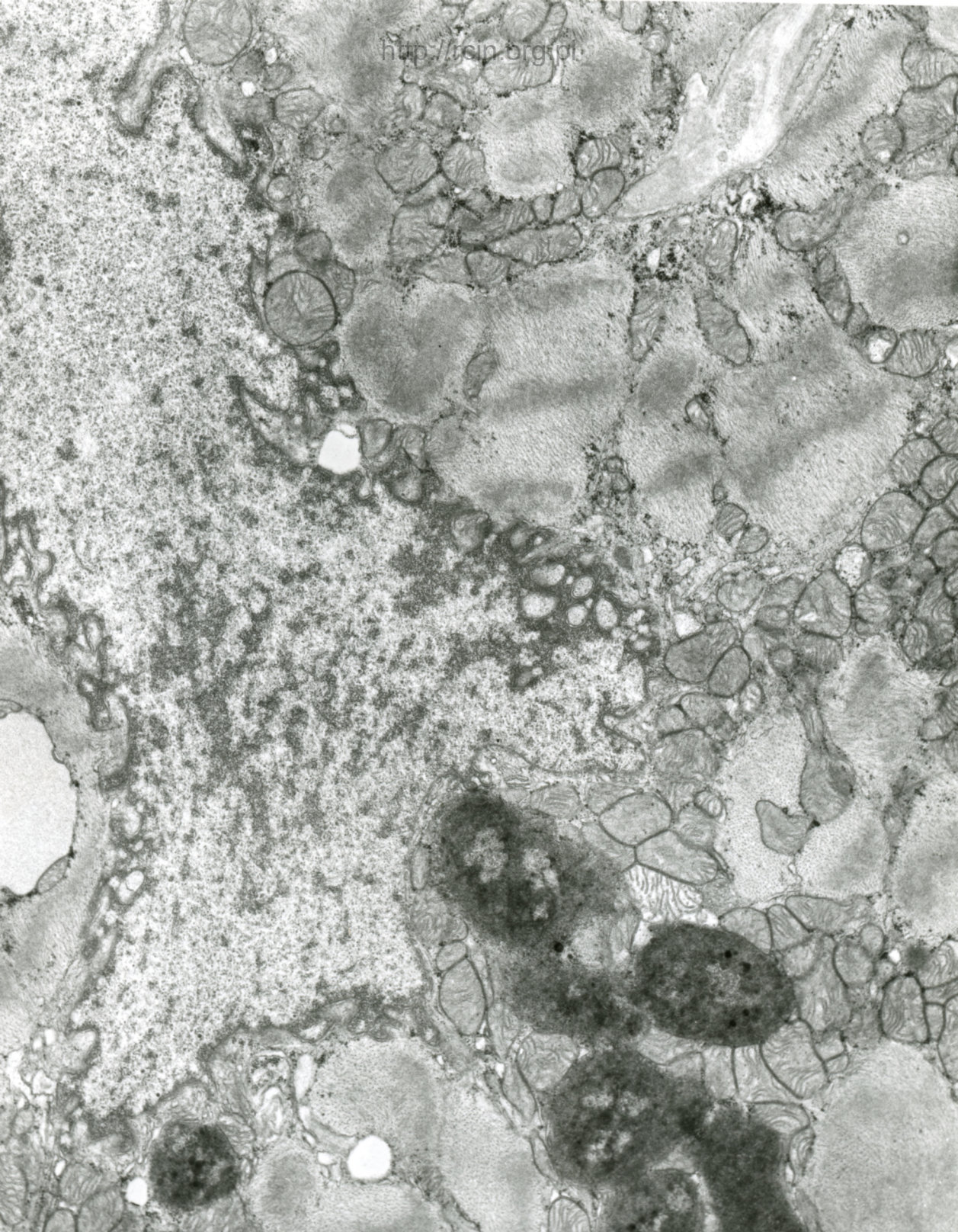
Fig. 5



AF 67/88/SERCE
083835 RR AKU X3000

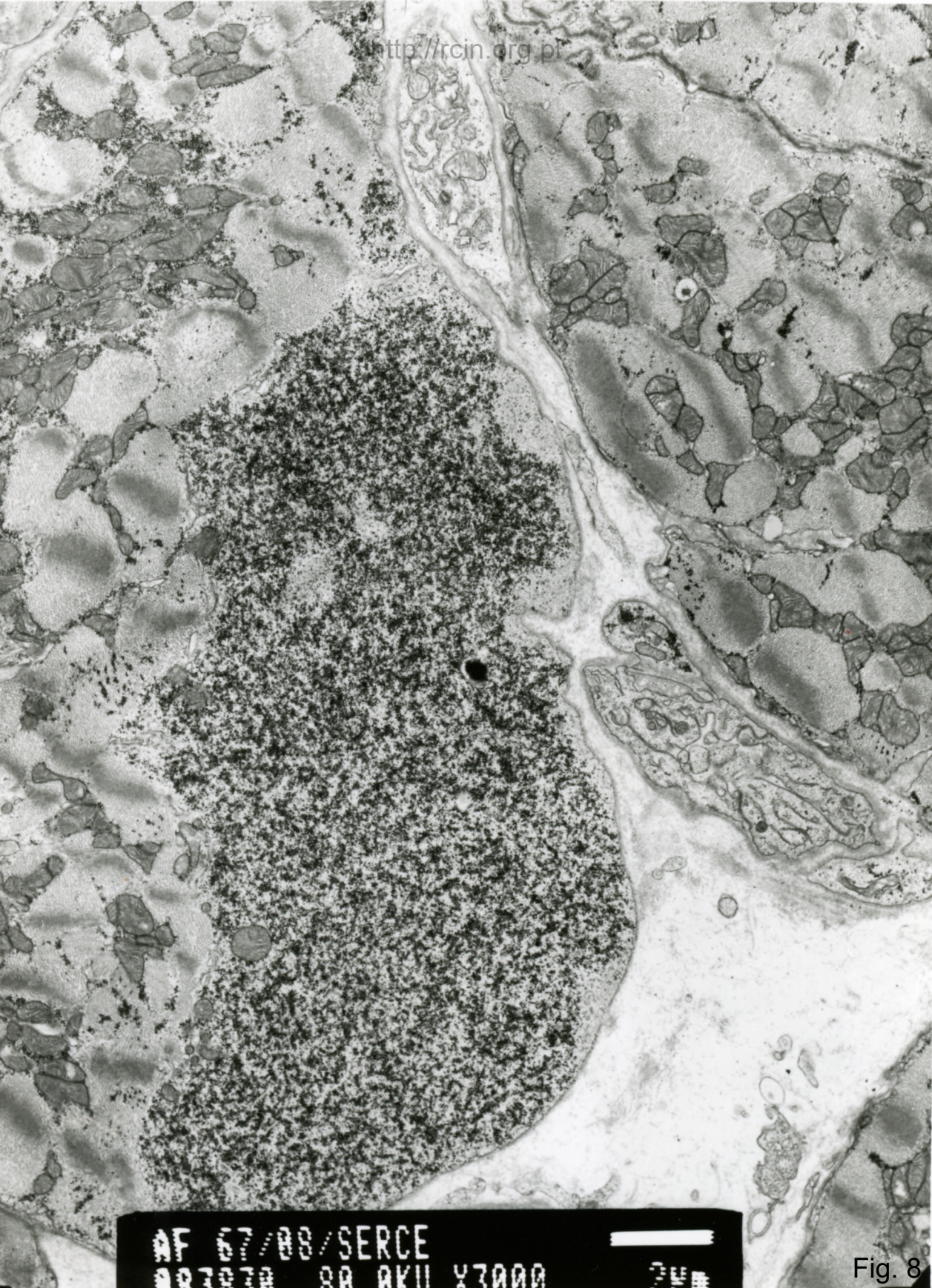
Fig. 6

<http://reip.org/>



AF 67/88/SERCE
003001 88 0KU X5000

Fig. 7



AF 67/88/SERCE
007070 80 AKII Y3000

Fig. 8

67/08 serce

Rozpoznanie ?

Ocena ultrastrukturalna wykazała zatartą strukturę sarkomerów i zaburzenia w przebiegu miofibrili. Jądra kardiomiocytów bwykazywały zmieniony kształt m.in. liczne wgłobienia w otoczce jądrowej, ponadto część jąder posiadała także ubytki w błonie jądrowej, co wiązało się z penetracją organelli komórkowych do wnętrza jąder (Fig.1-5). W sarkoplazmie obserwowano występujące dość licznie lipofuscyny oraz ziarna glikogenu (Fig. 6-8).

Rozpoznanie ?

Ultrastructural evaluation revealed blurred sarcomeres structure and altered myofibrils' arrangement. Nuclei of cardiomyocytes were deformed, changes in the shape including numerous indentations in the nuclear envelope were seen. Moreover, some nuclei showed also defects in the nuclear membrane, which was associated with penetration of cell organelles and structures such as lipofuscin into the nuclei (Figs.1-5). In sarcoplasm, lipofuscin and glycogen granules were observed (Figs. 6-8).